

Fig. 14

5/27

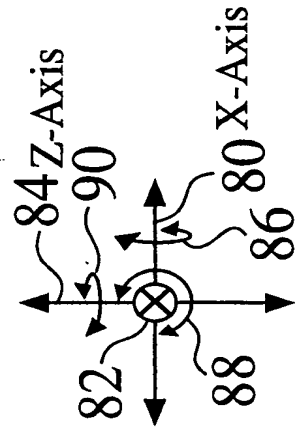
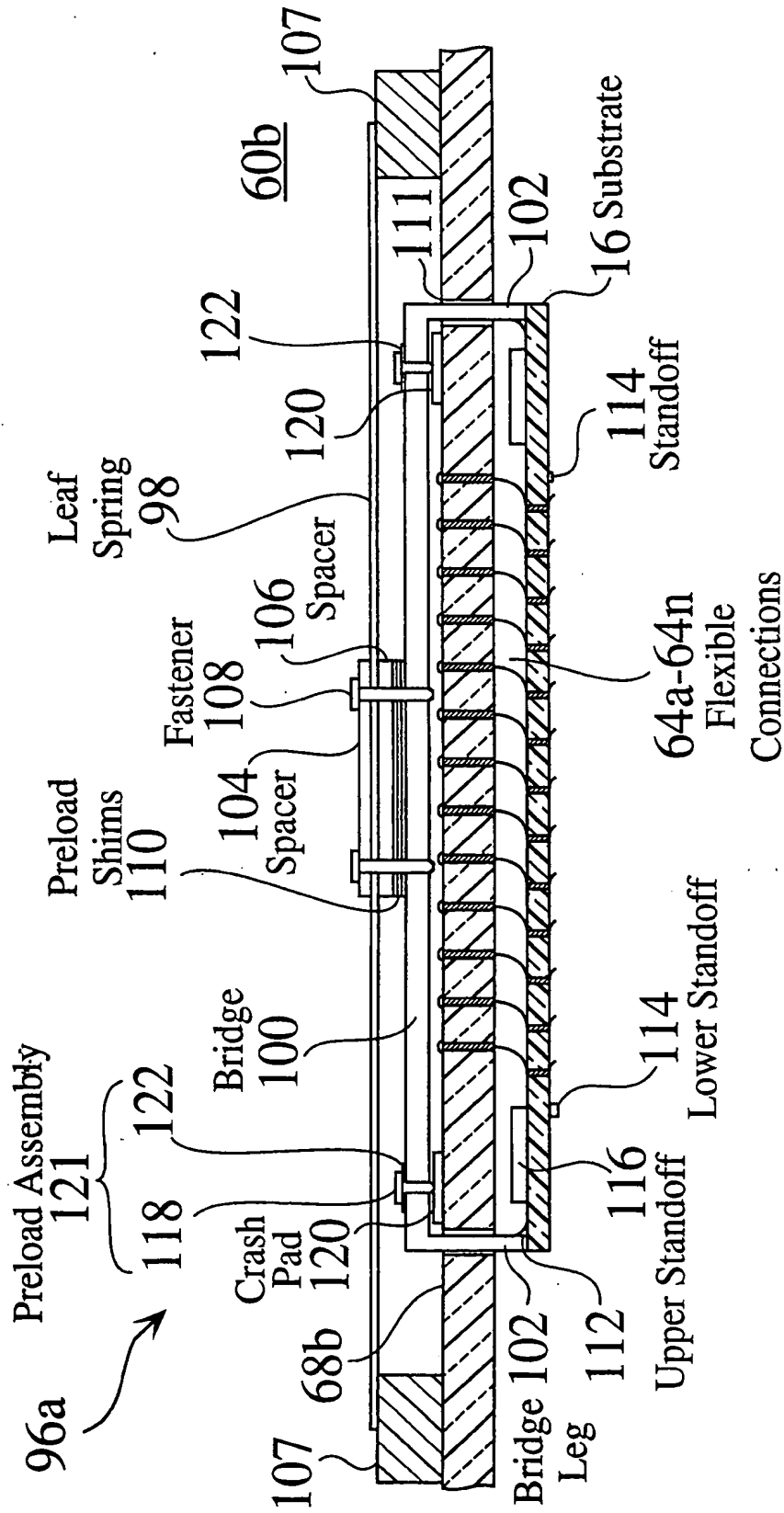


Fig. 15

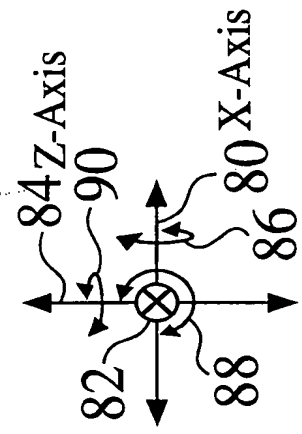
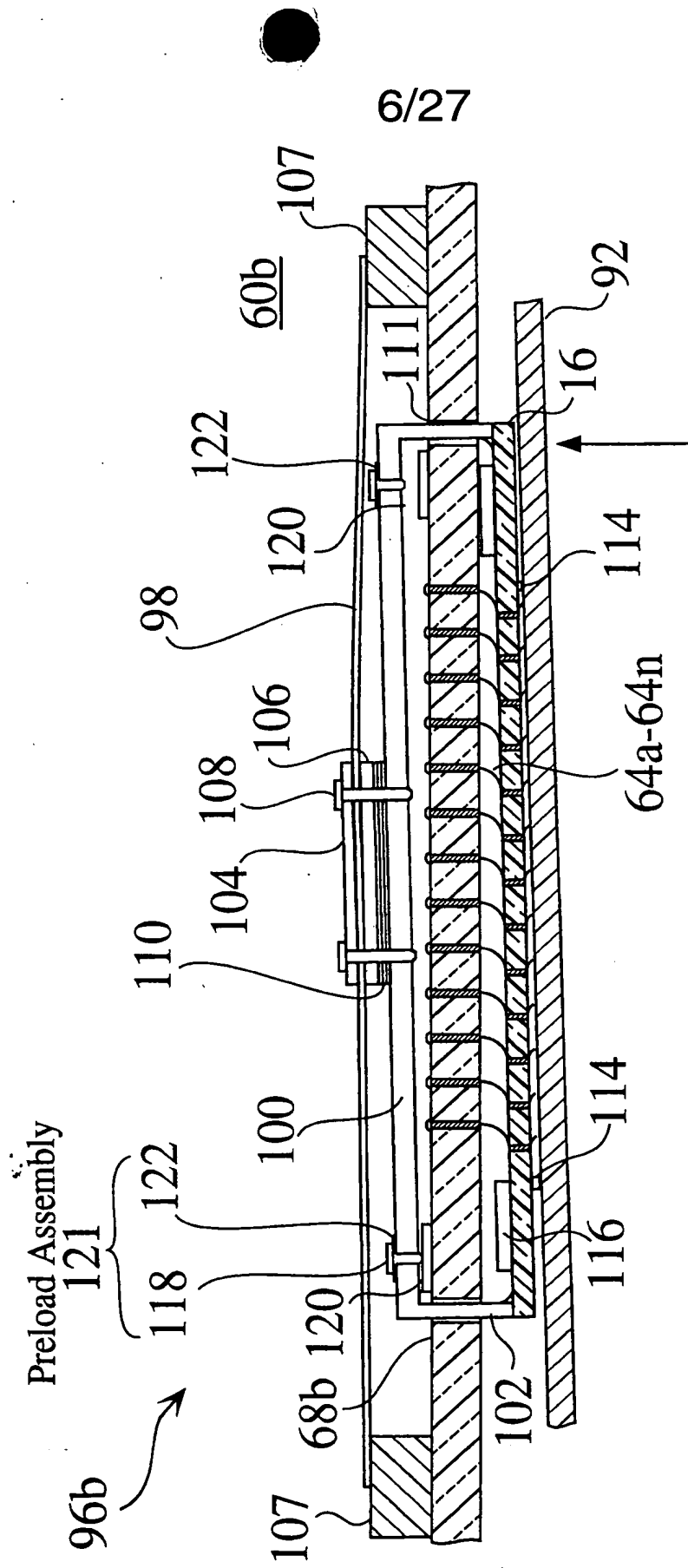


Fig. 16

7/27

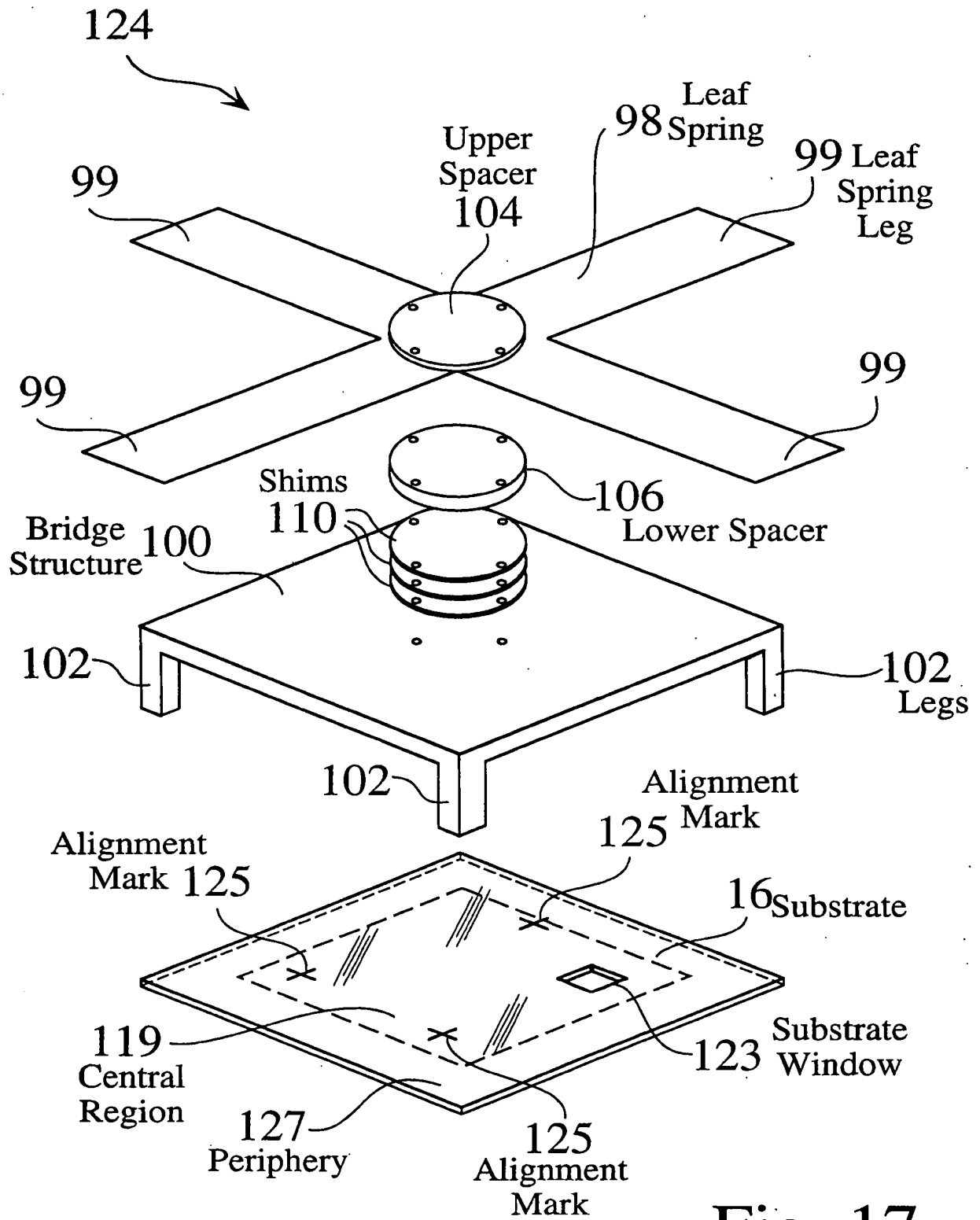


Fig. 17

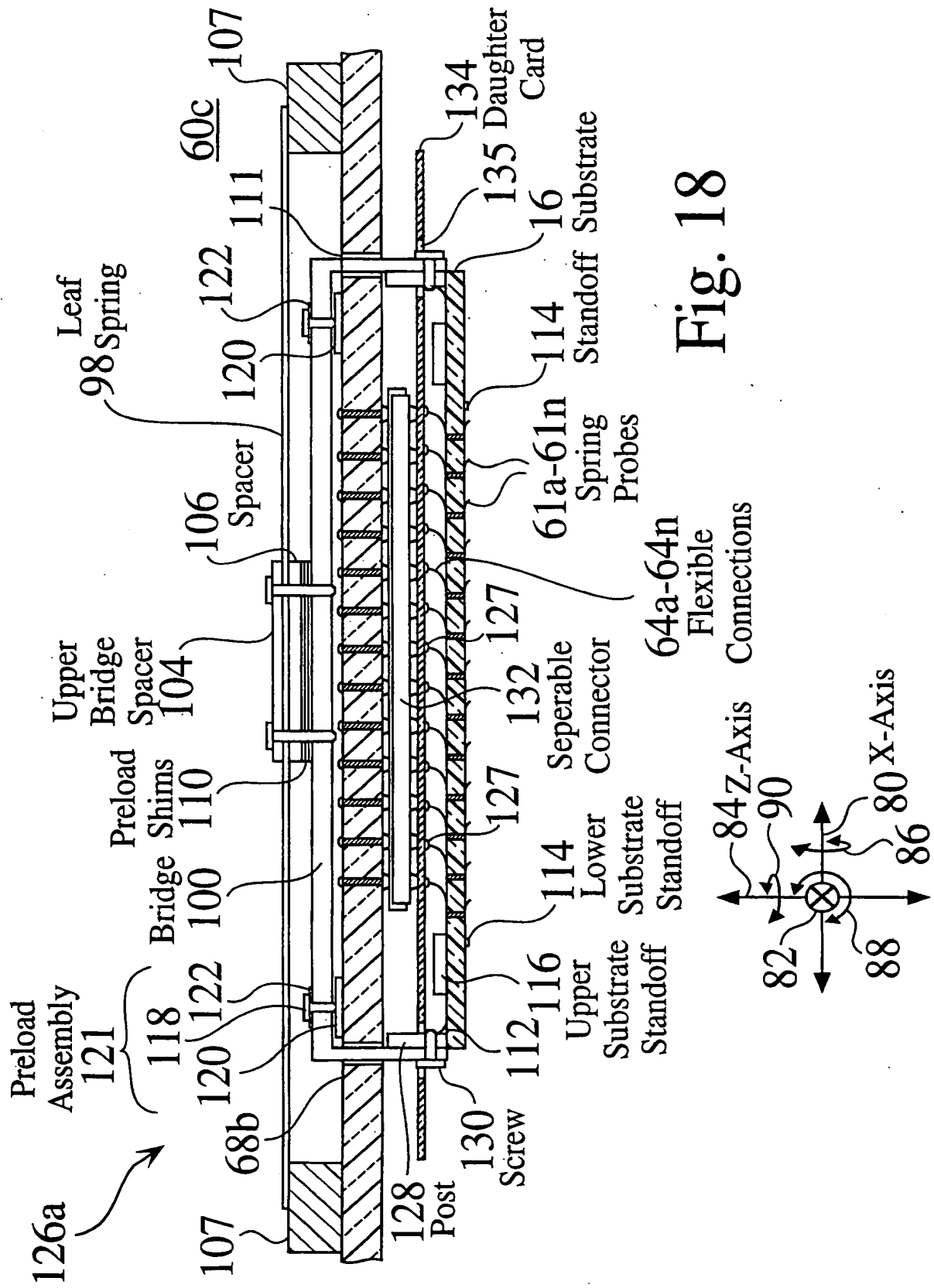


Fig. 18



9/27

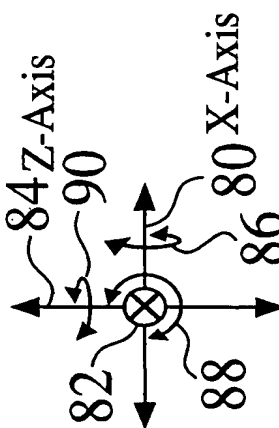
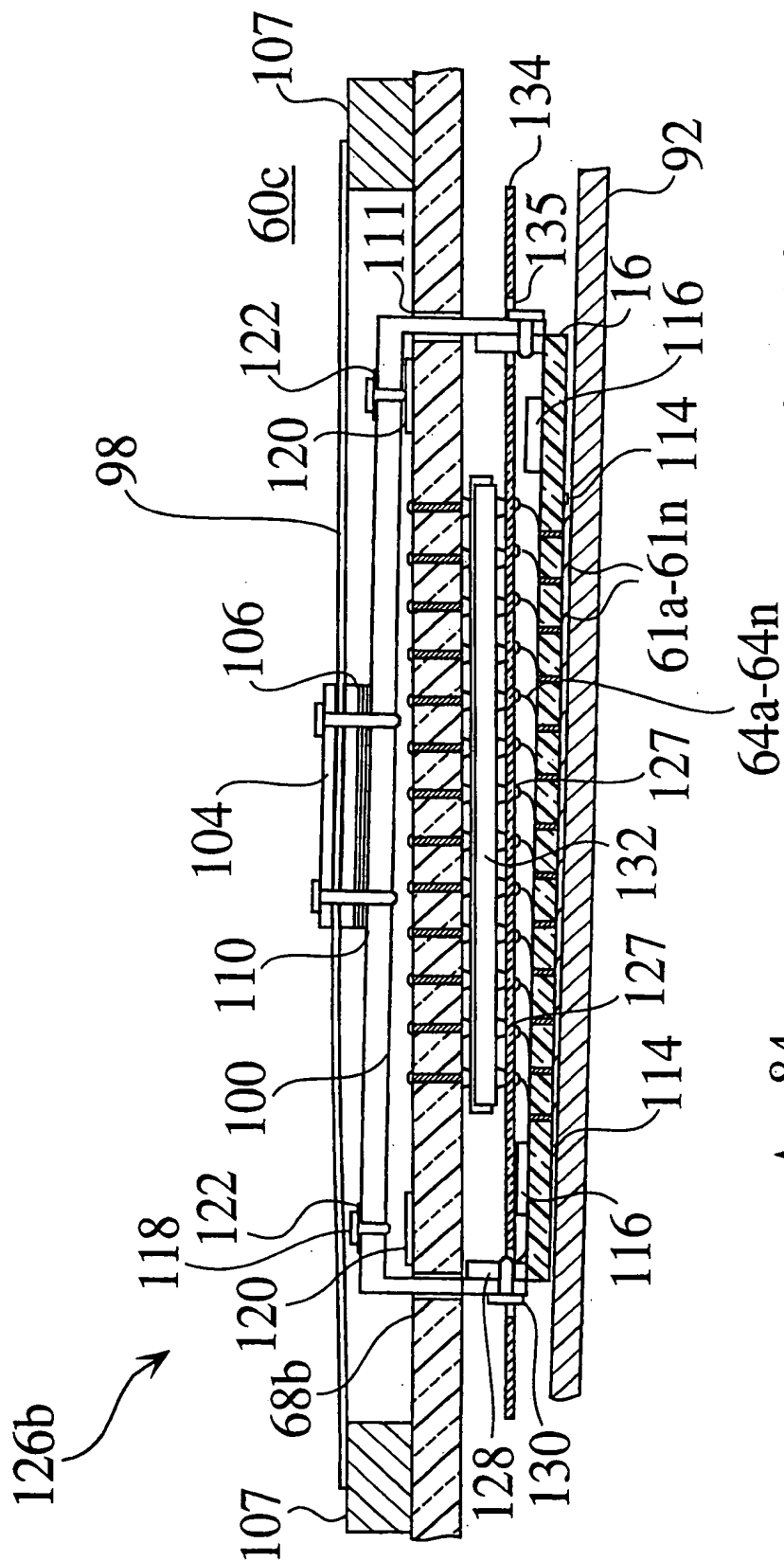


Fig. 19

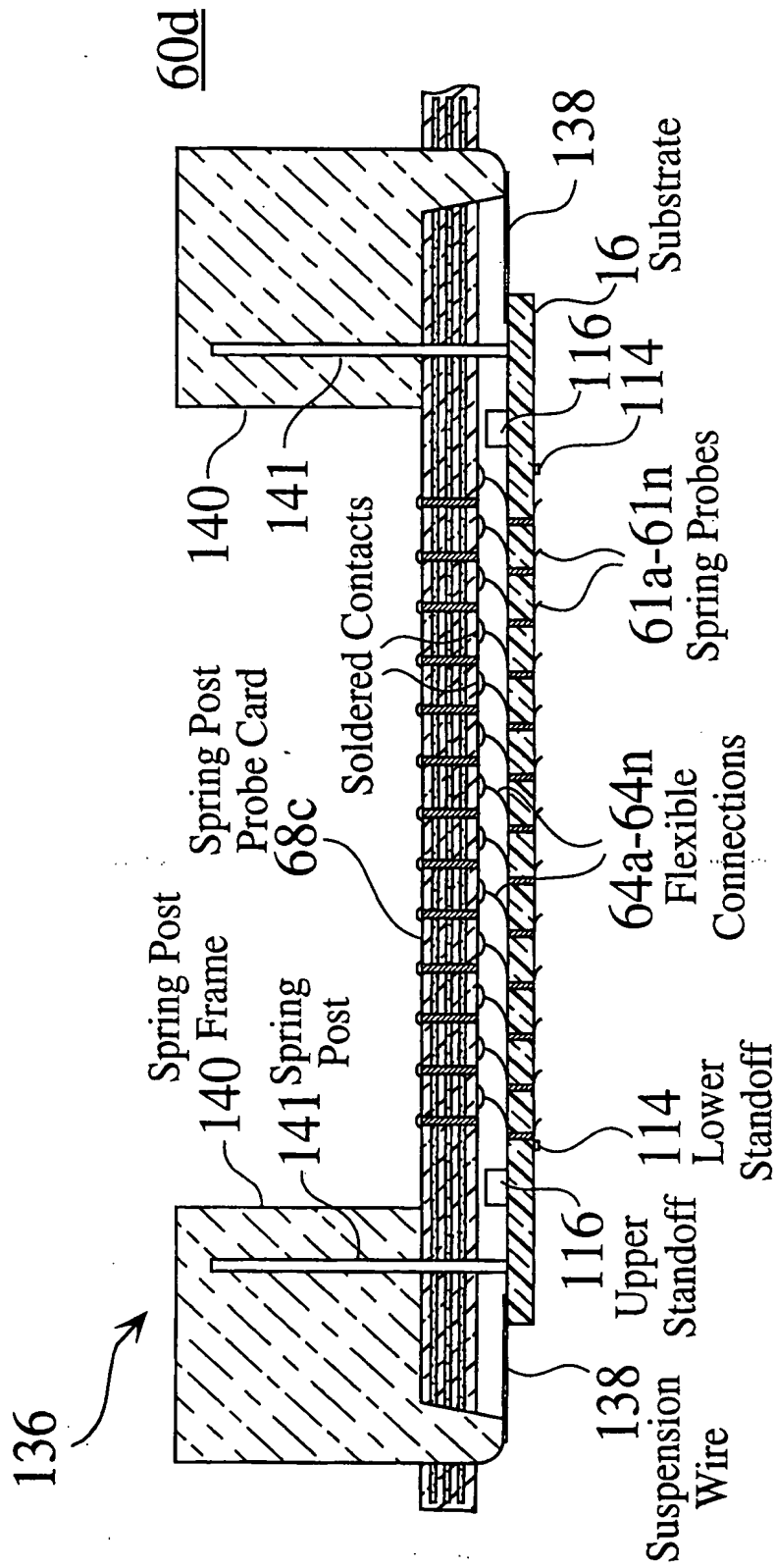


Fig. 20

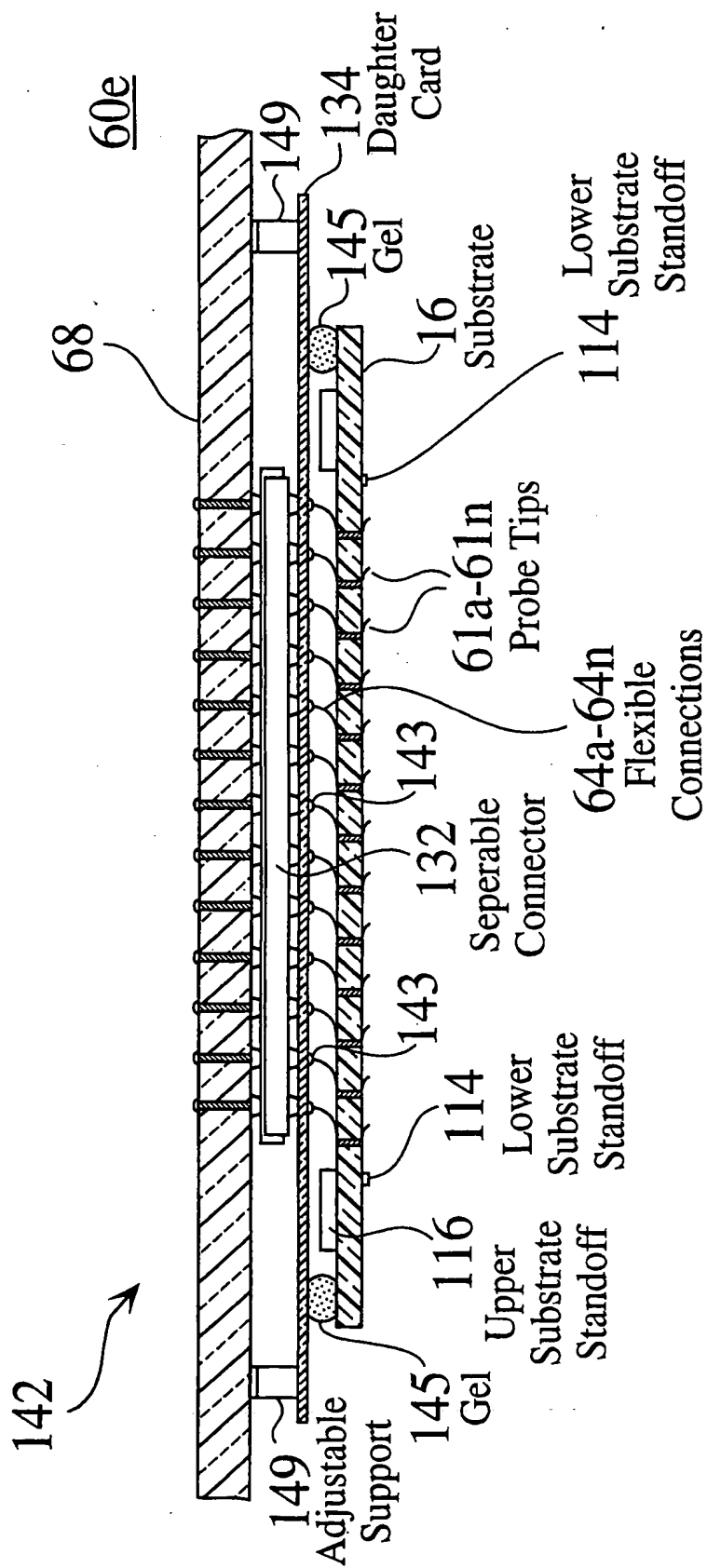


Fig. 21

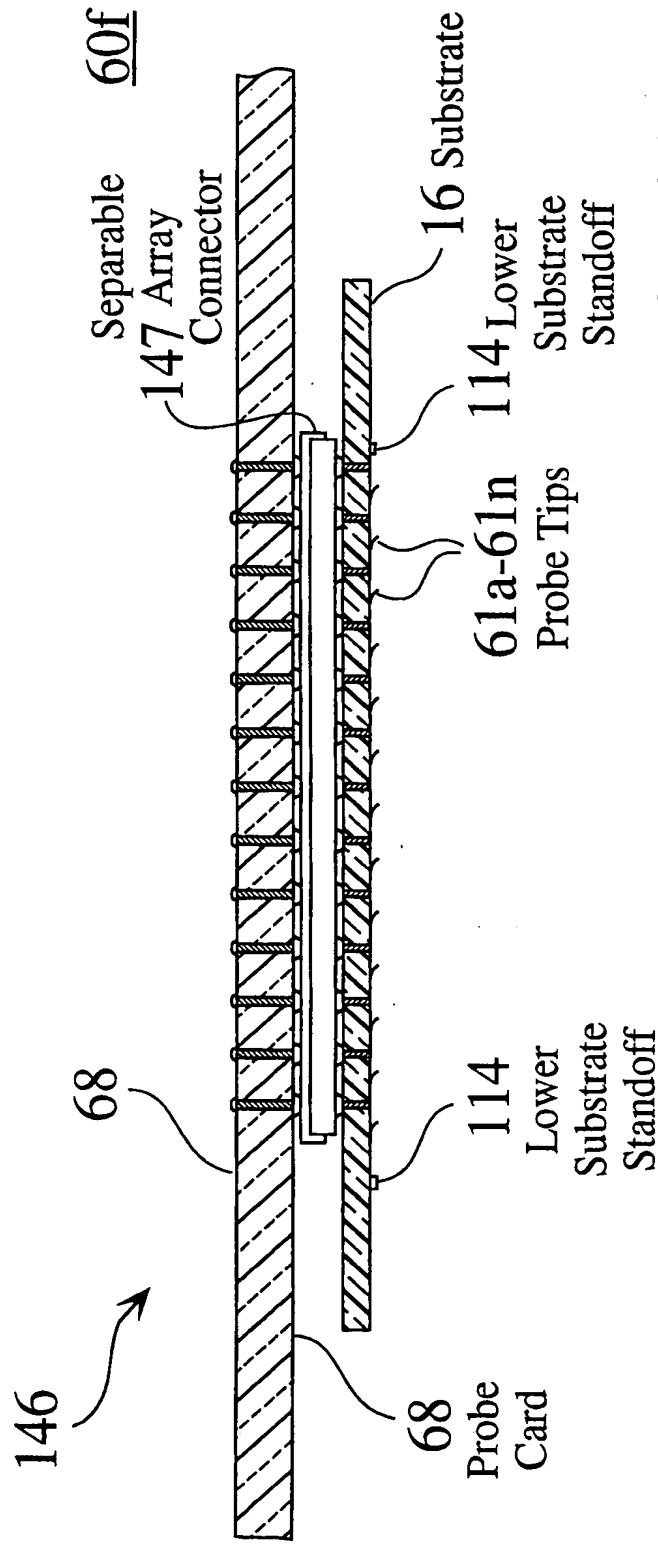


Fig. 22

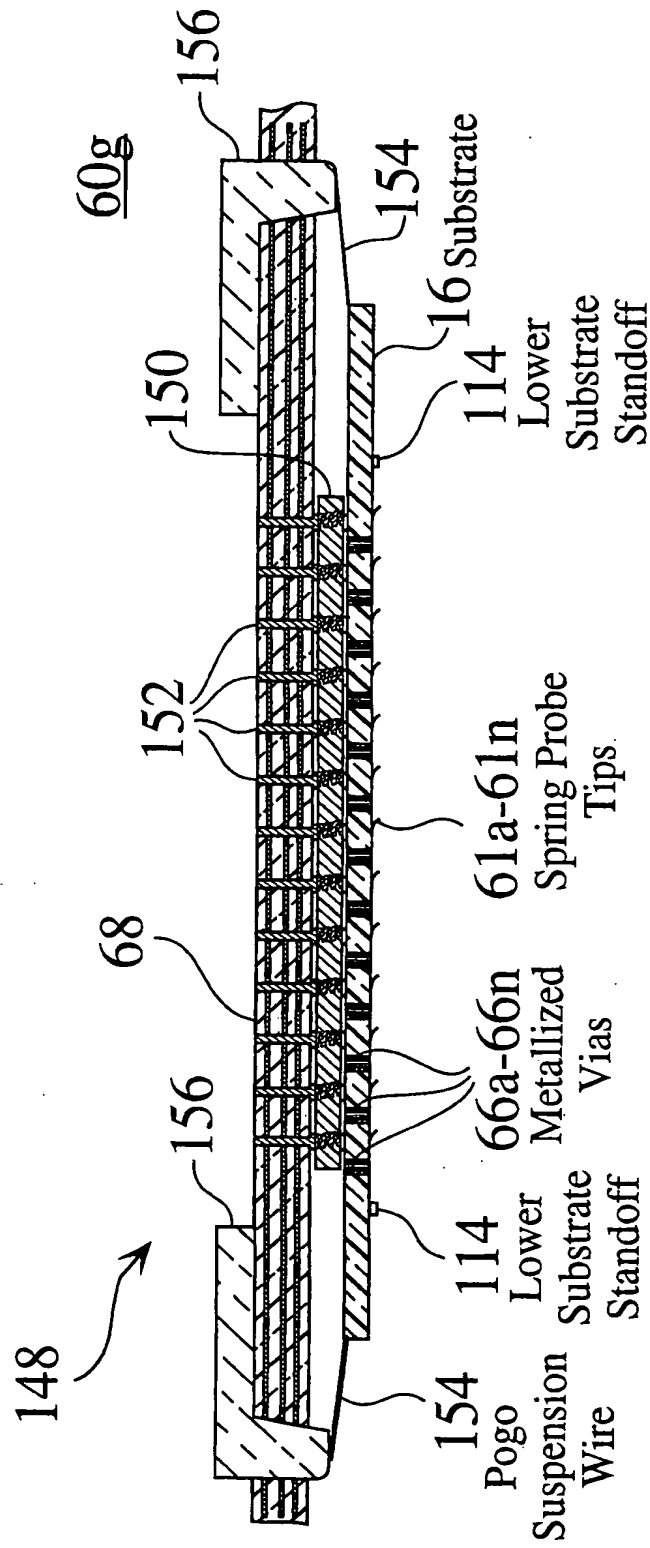


Fig. 23

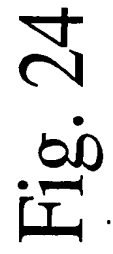


Fig. 24

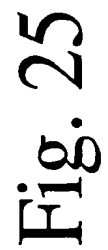


Fig. 25

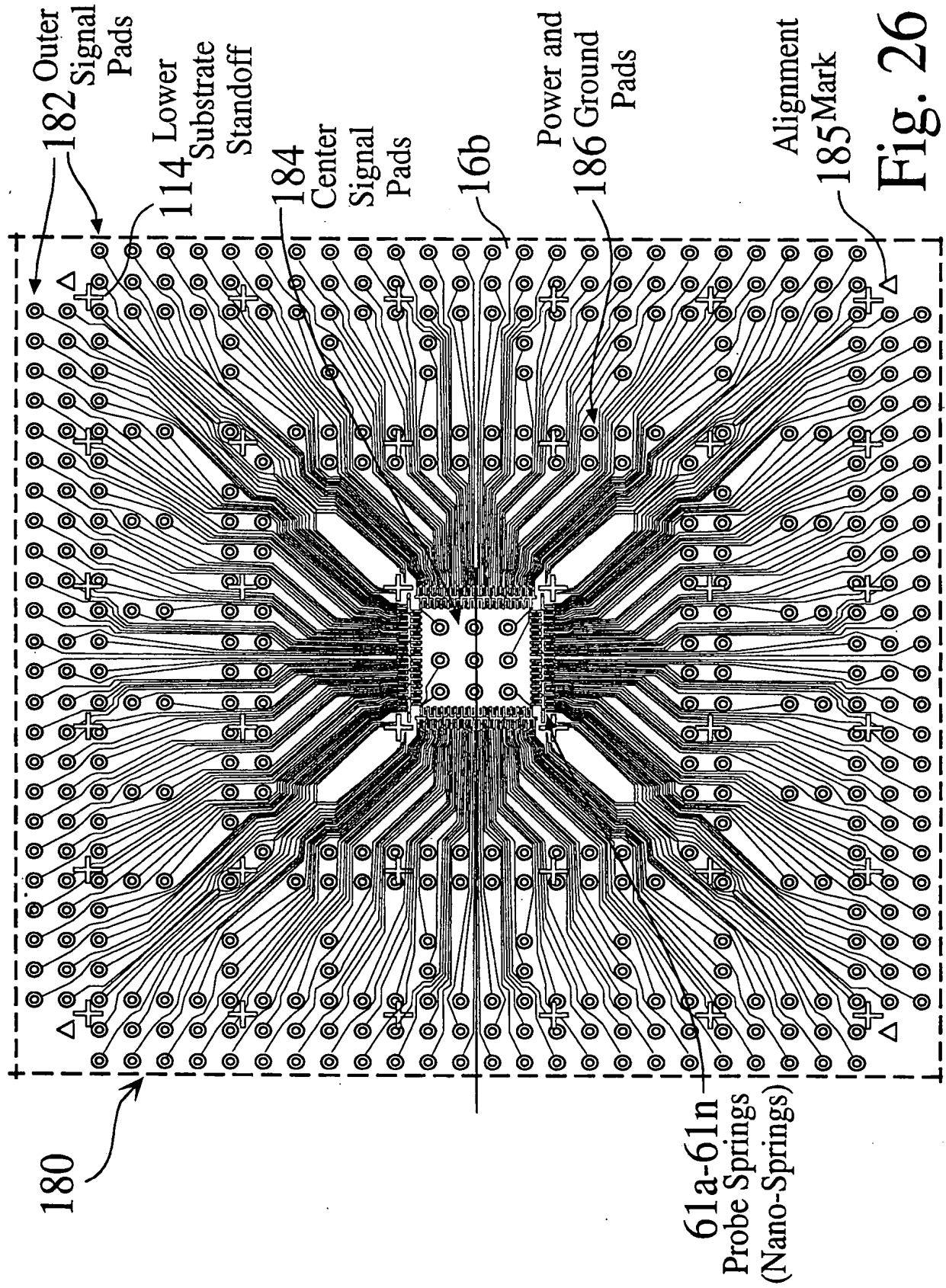


Fig. 26



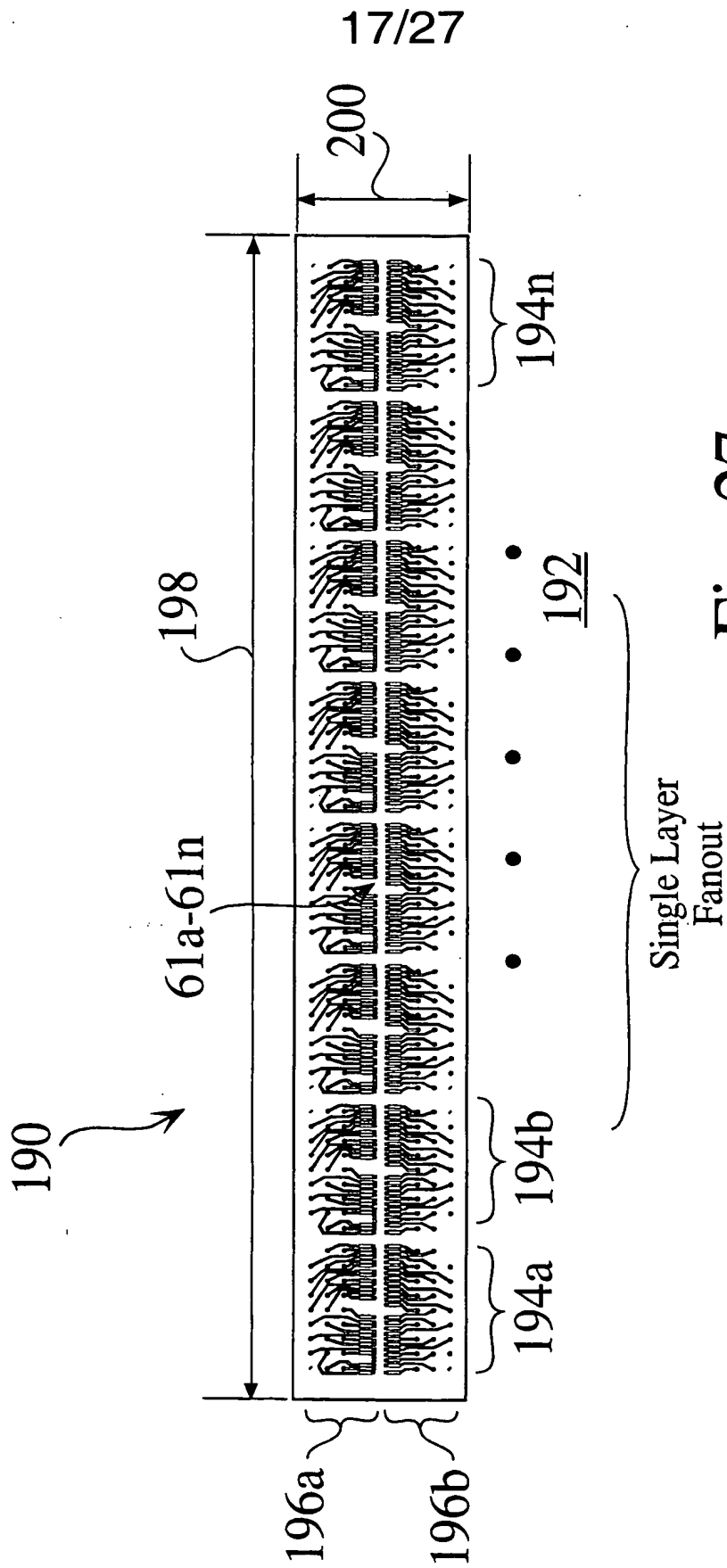


Fig. 27

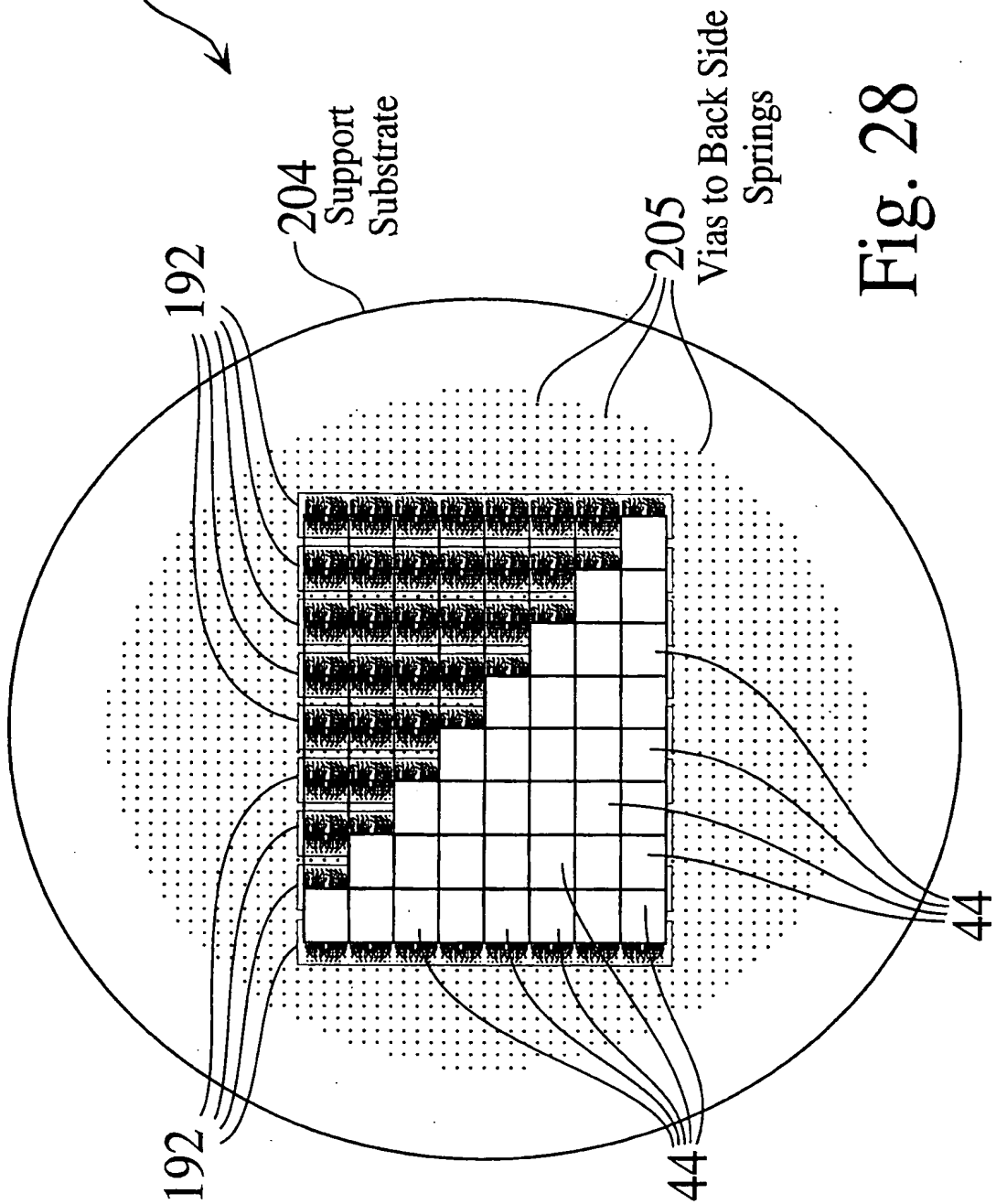


Fig. 28

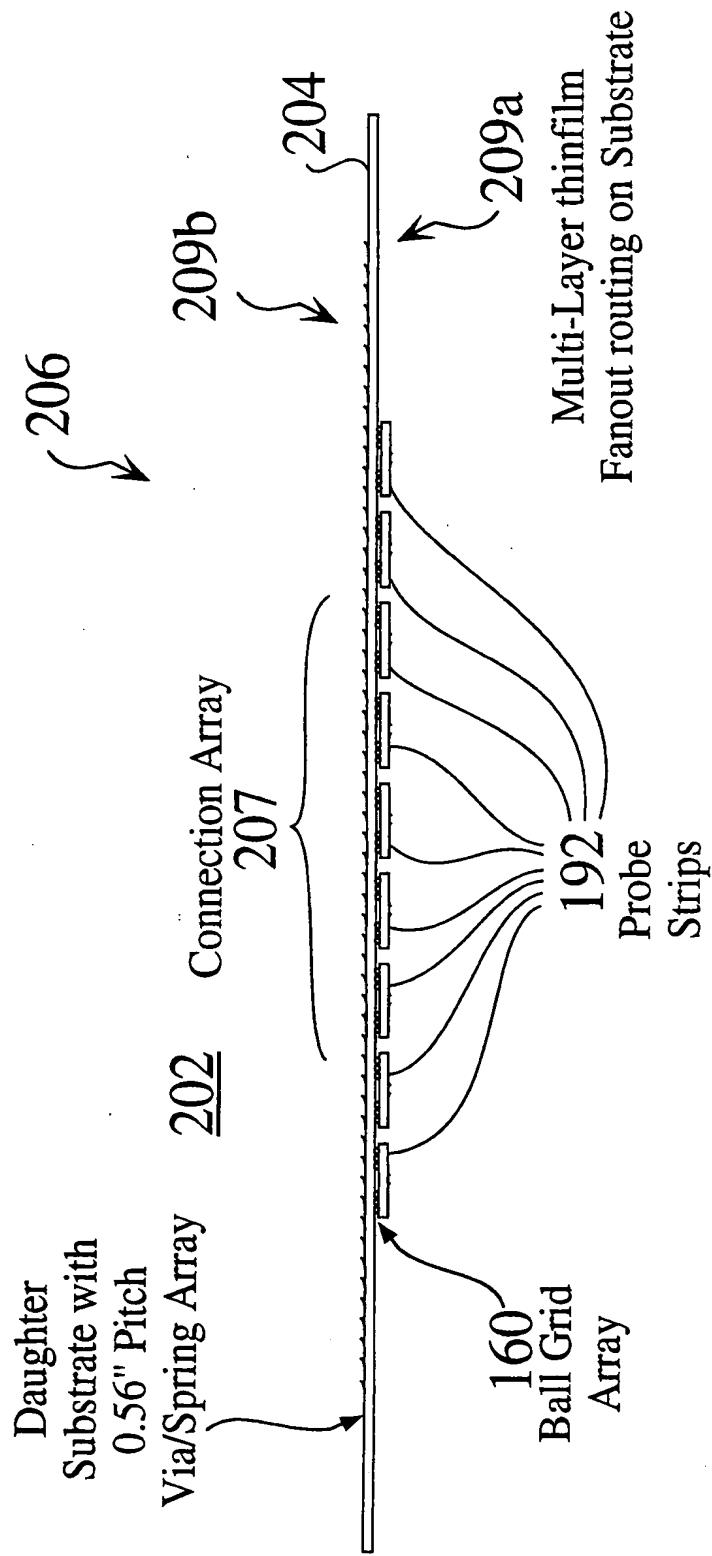


Fig. 29

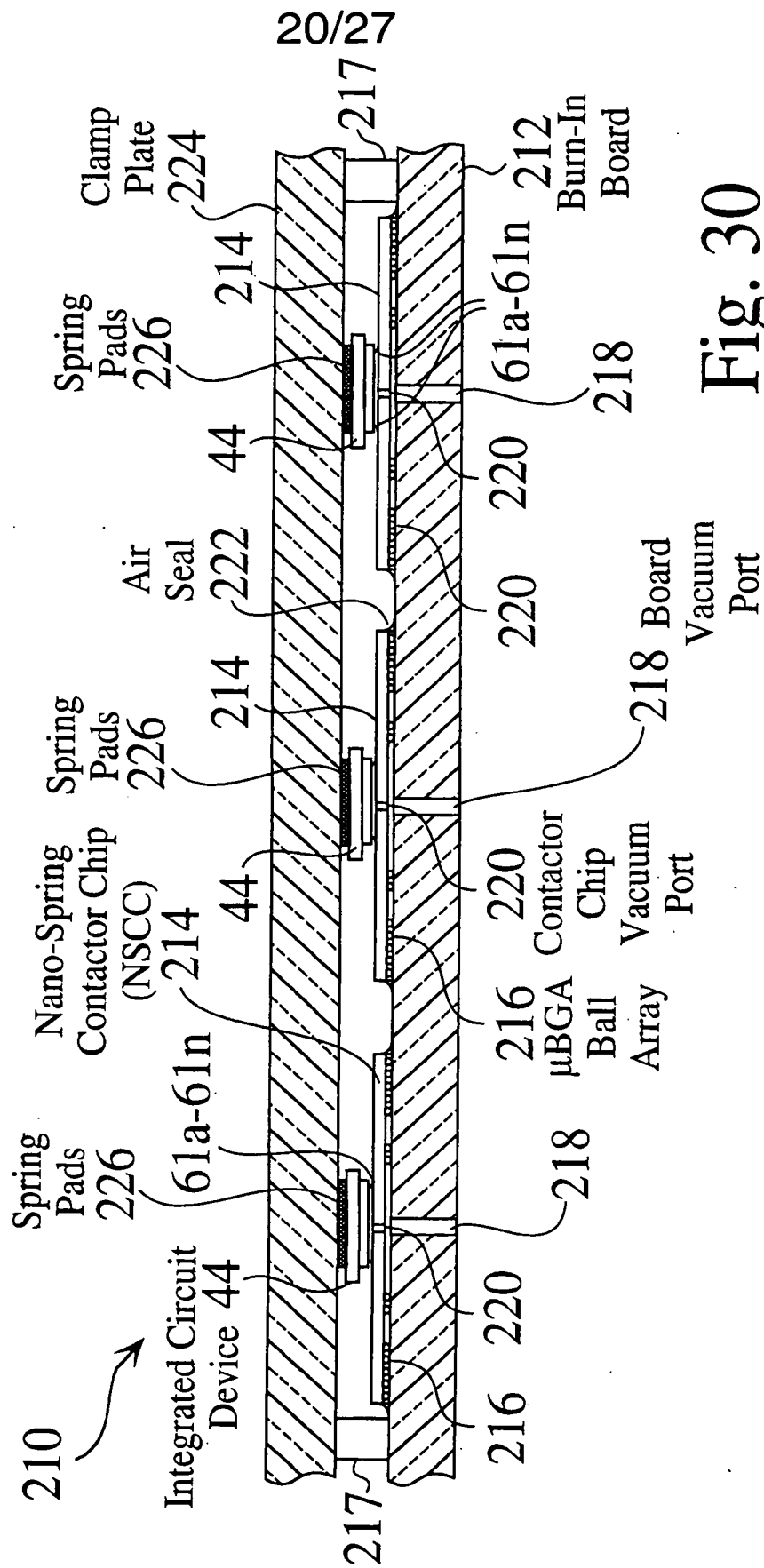
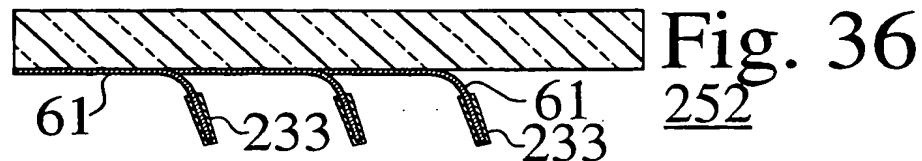
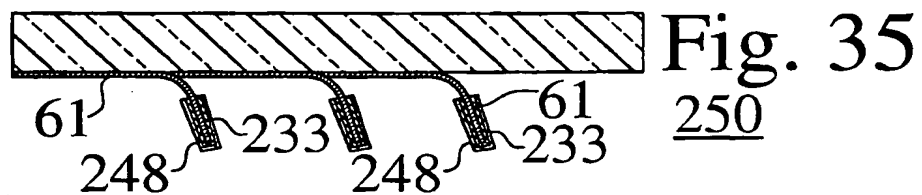
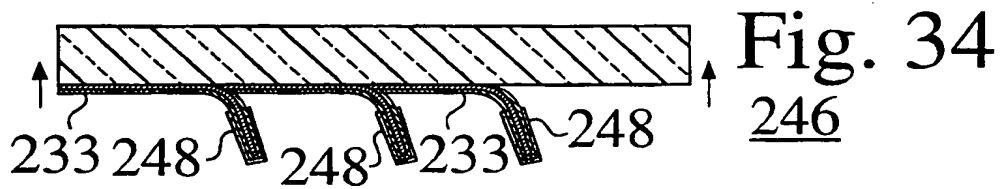
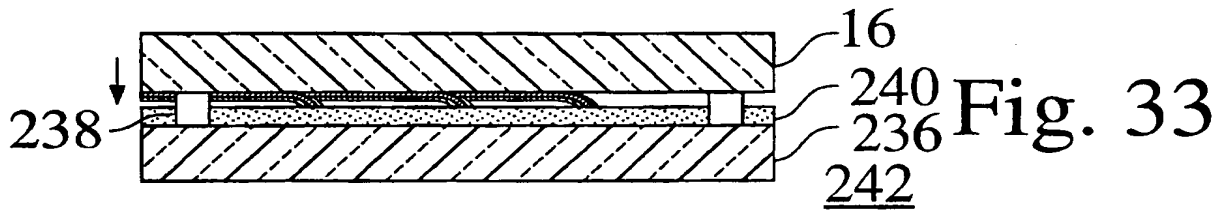
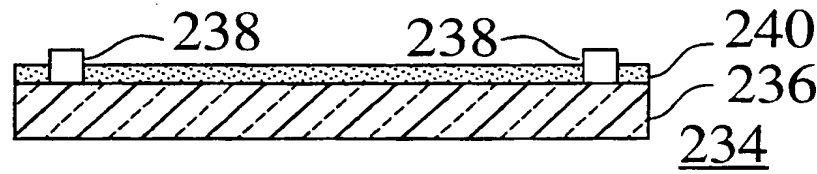
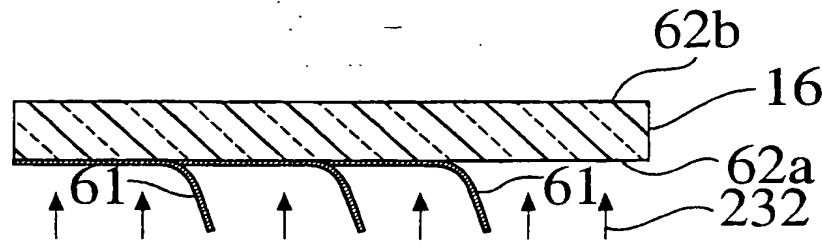
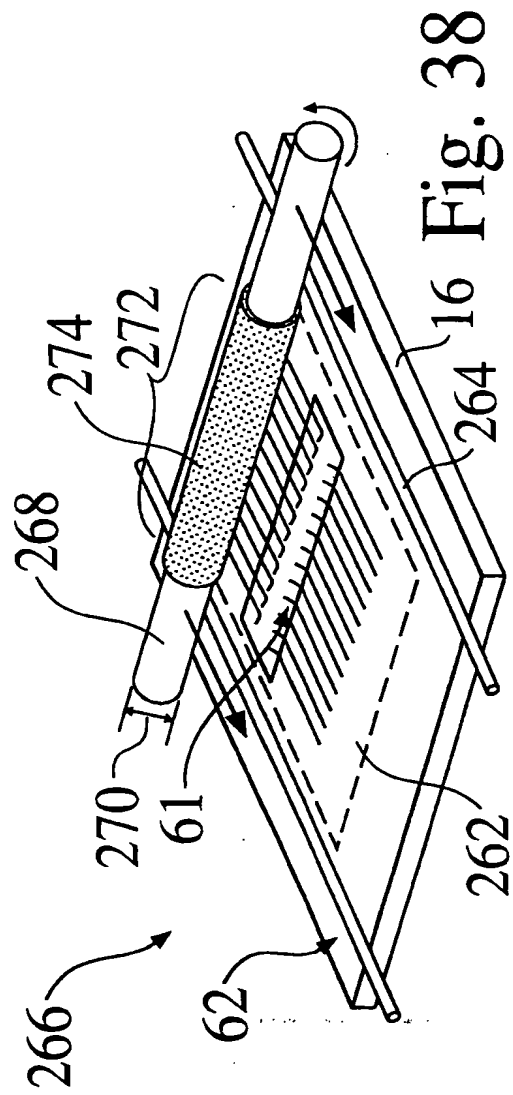
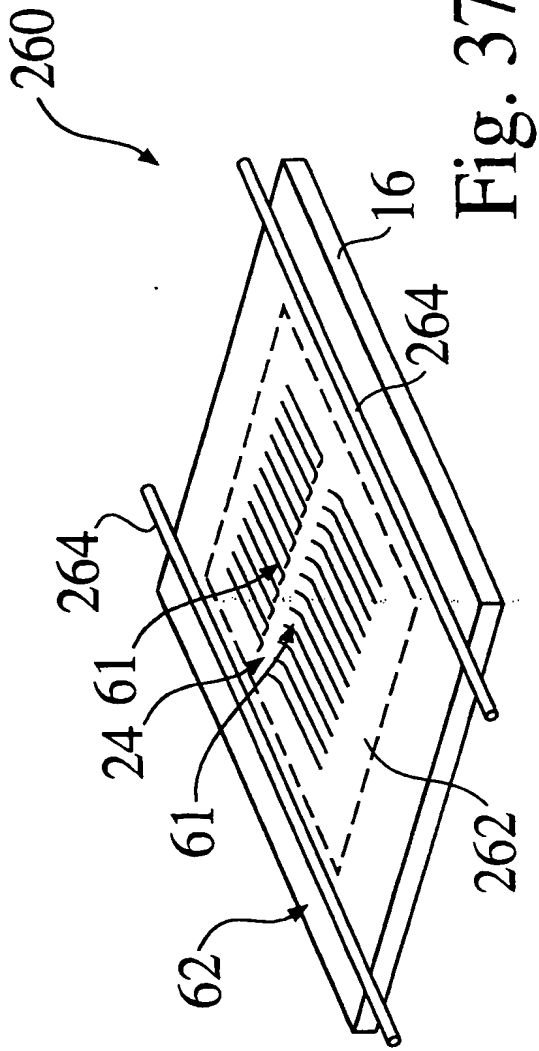


Fig. 30





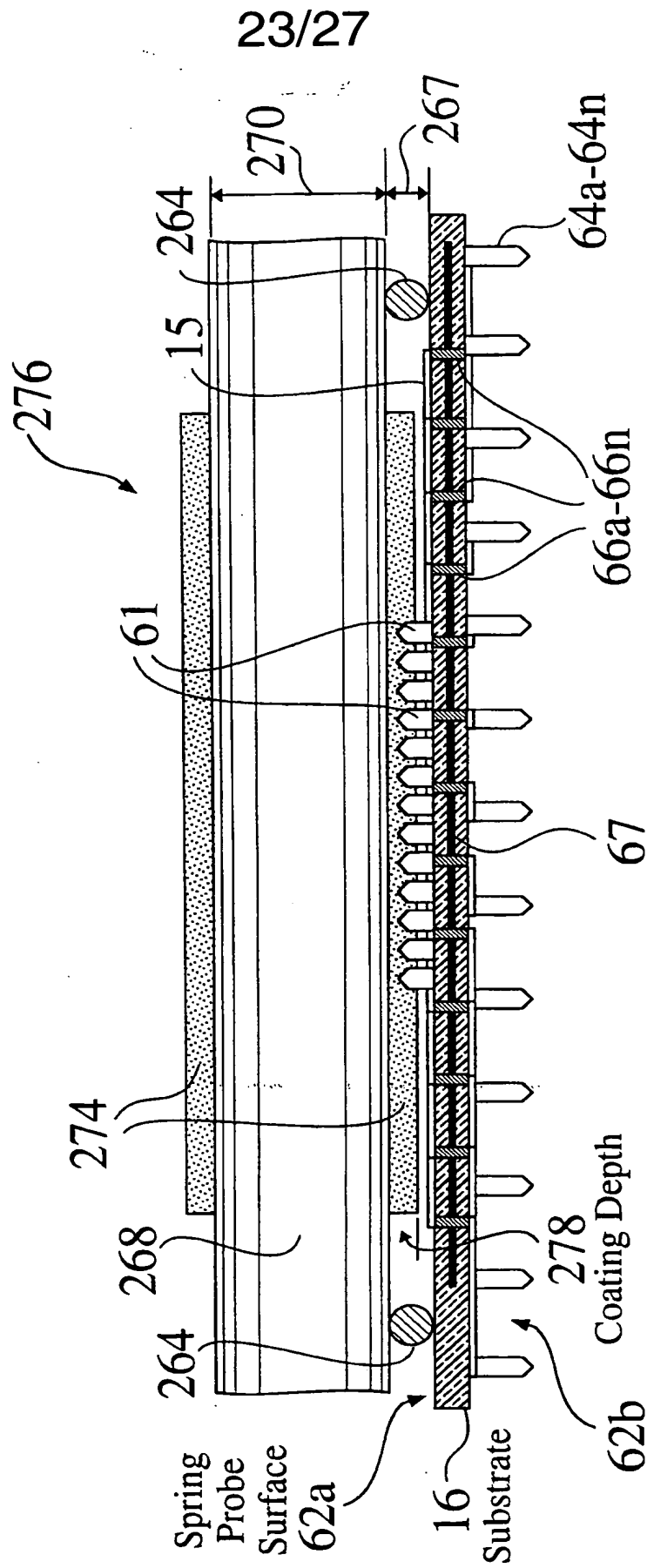
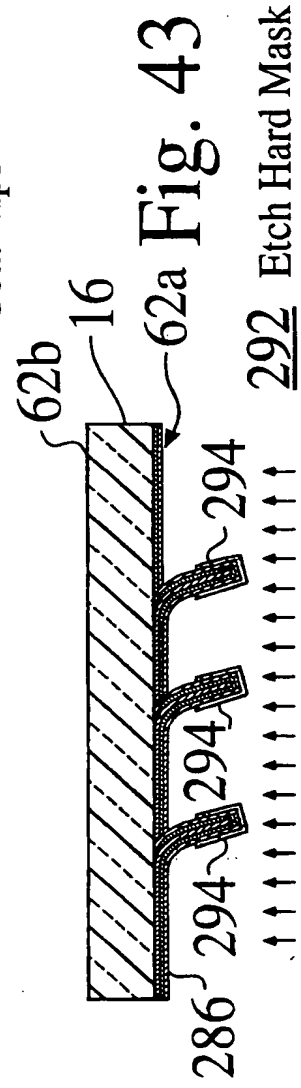
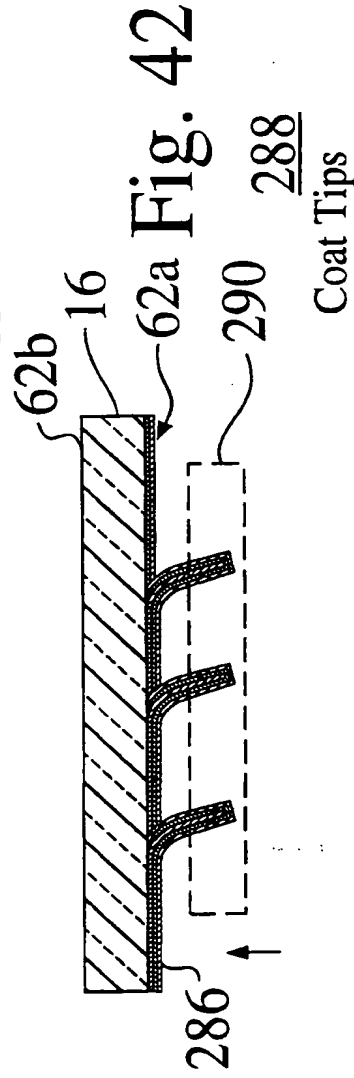
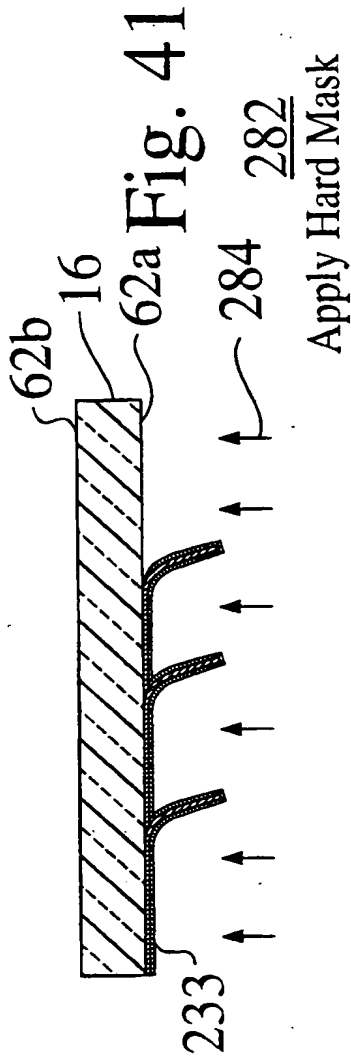
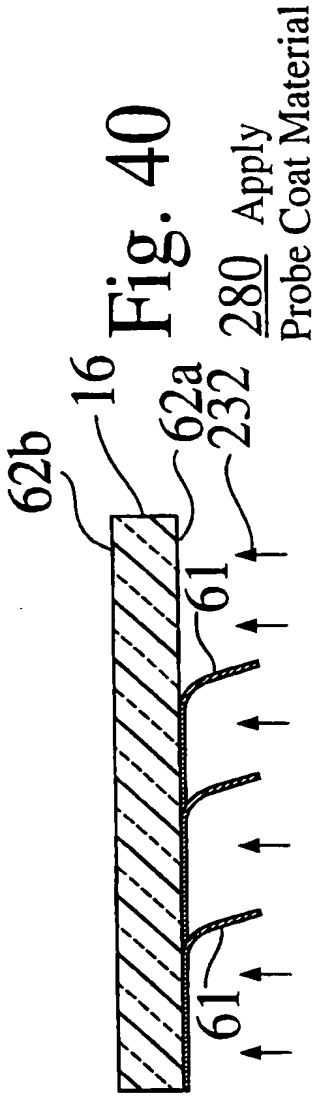


Fig. 39







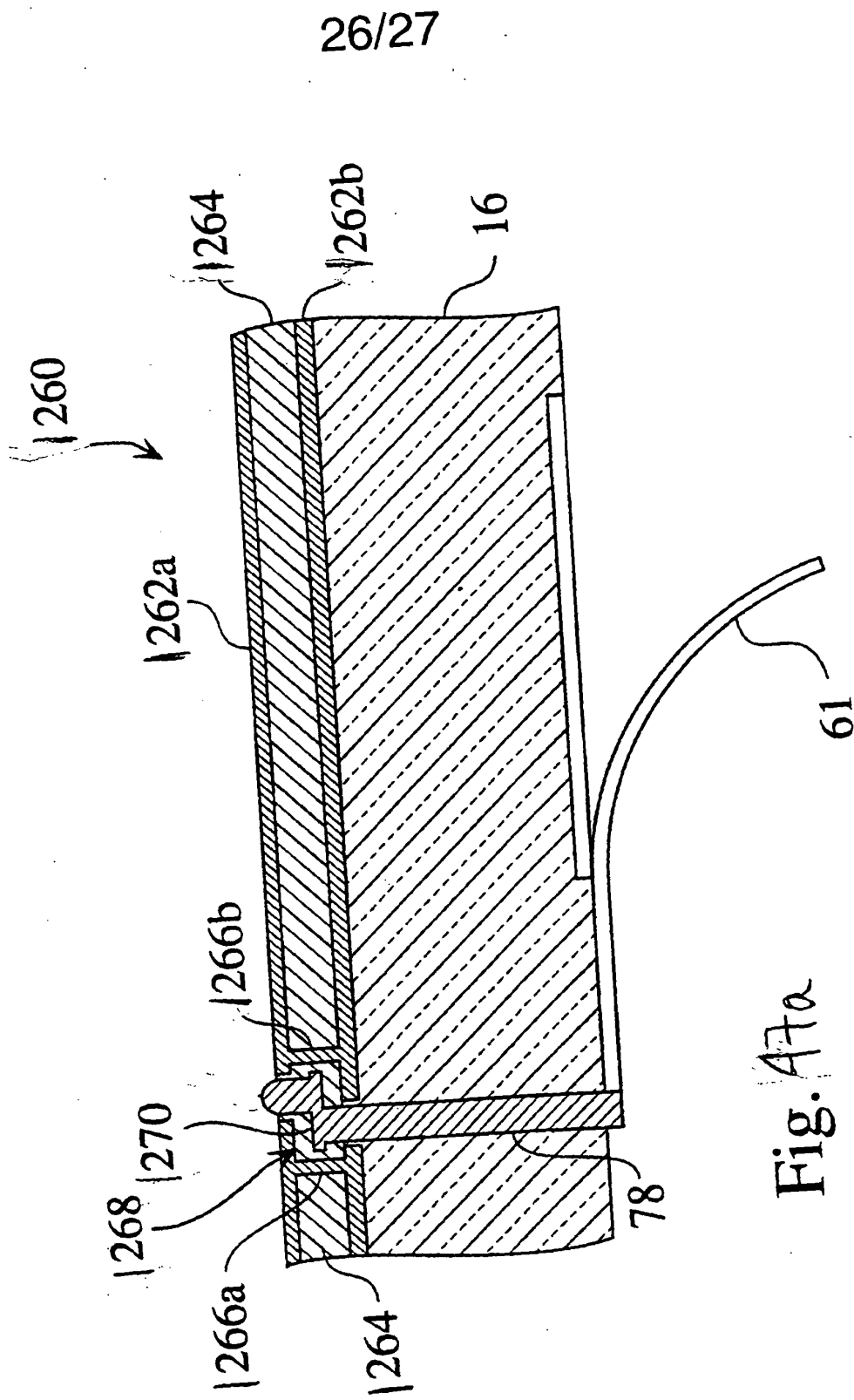


Fig. 47a

27/27

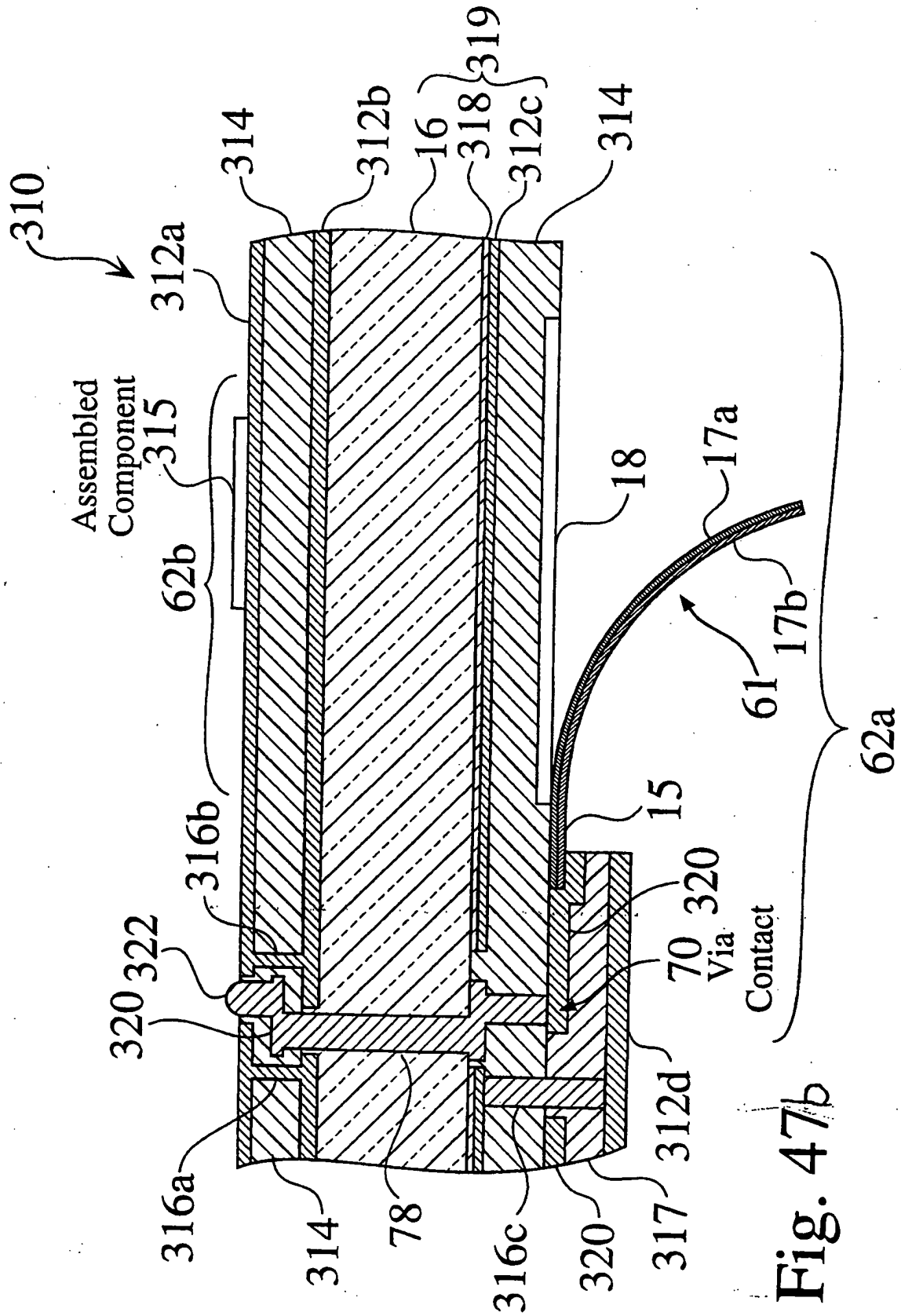


Fig. 47b